依托泊苷胶束的制备与表征

劳新南 1 , 曹高忠 2 (1.桐乡市康复医院,浙江桐乡 314500; 2.温州医科大学附属第一医院,浙江温州 325000)

摘要:目的 制备并表征装载依托泊苷(VP-16)的 D-α-生育酚-聚乙二醇琥珀酸酯(TPGS)胶束(VP-16/TPGS)。 方法 采用薄膜水化法制备 VP-16/TPGS,测定其粒径、Zeta 电位,研究其体外药物释放行为,考察其细胞摄取和细胞毒性,评价其血液相容性。结果 所制得的 VP-16/TPGS 胶束具有较小的粒径;具有较高的载药量和包封率;体外呈现良好的缓控释效果;可增强 H446 细胞对其的摄取,进而提高抗肿瘤活性;具有较高的血液相容性。结论 VP-16/TPGS 胶束是一种安全、有效的 VP-16 递送系统。

关键词: 依托泊苷; D- α -生育酚-聚乙二醇琥珀酸酯; 胶束

中图分类号: R943 文献标志码: B 文章编号: 1007-7693(2017)07-0992-05

DOI: 10.13748/j.cnki.issn1007-7693.2017.07.013

引用本文: 劳新南, 曹高忠. 依托泊苷胶束的制备与表征[J]. 中国现代应用药学, 2017, 34(7): 992-996.

Preparation and Characterization of Etoposide Micelles

LAO Xinnan¹, CAO Gaozhong²(1.The Rehabilitation Hospital of Tongxiang, Tongxiang 314500, China; 2.The First Affiliated Hospital of Wenzhou Medical University, Wenzhou 325000, China)

ABSTRACT: OBJECTIVE To prepare and characterize the eptoposide(VP-16)-loaded D- α tocopheryl polyethylene glycol succinate(TPGS) micelles. **METHODS** The VP-16/TPGS was prepared using thin-film hydration method. The particle size and Zeta potential were measured. The drug release behavior, cellular uptake and cytotoxicity were also studied. At last, the hemocompatibility was also evaluated. **RESULTS** The prepared VP-16/TPGS micelles had small sizes, high drug loading capacity and encapsulated efficiency. The VP-16/TPGS micelles also exhibited a sustained and controllable *in vitro* release behavior. The enhanced cellular uptake of the VP-16/TPGS micelles by H446 celles improved the cytotoxicity. Besides, the VP-16/TPGS micelles showed a good hemocompatibility. **CONCLUSION** VP-16/TPGS nanomicelle may be a safe and efficient drug delivery system for VP-16.

KEY WORDS: etoposide; D- α tocopheryl polyethylene glycol succinate(TPGS); micelles

依托泊苷(etoposide, VP-16), 化学名为 4-去 甲基表鬼臼毒素-9-(4,6-*O*-(*R*)亚乙基)-β-D-吡喃葡糖苷,鬼臼毒素的糖代谢产物,是一种半合成的抗肿瘤药物^[1]。VP-16 对小细胞肺癌具有良好的疗效,有效缓解率达 40%~85%; 对其他多种肿瘤,如急性白血病、卵巢癌、睾丸肿瘤、恶性淋巴瘤等也有效^[2-5]。目前临床上常用为 VP-16 注射液,由于 VP-16 难溶于水,该注射液含有大量的无水乙醇、吐温 80、聚乙二醇 400 作为药用辅料,易引起超敏反应、胃肠道刺激、高血压等不良反应,使得该注射液难以被患者耐受^[2]。因而亟需开发一种安全、有效的 VP-16 注射液,以降低 VP-16 注射液的不良反应。

目前,纳米技术已被广泛应用到药物的传递和肿瘤治疗中。胶束制备方法简单且不使用有毒溶剂,可提高制剂的安全性;同时其特殊的"亲

水-疏水"链段构成的"核-壳"结构,使其具有优异的装载疏水性药物的性能;而其纳米级别的尺寸(<100 nm)及亲水的外壳,使其具有长循环的特性,并被动靶向于肿瘤组织部位,进而提高疗效^[6-9]。 胶束已成为目前研究的热点^[10-12]。

D- α -生育酚-聚乙二醇琥珀酸酯(tocopheryl polyethylene glycol succinate, TPGS)是一种水溶性的天然维生素 E 衍生物,由疏水性的维生素 E 链段和亲水性的聚乙二醇链段组成,可以自组装形成胶束,已被用作疏水性抗肿瘤药物紫杉醇、多烯紫杉醇、多柔比星等的传递载体 $[^{13-14]}$ 。维生素 E 是人体必需的一种维生素,而聚乙二醇已被美国 FDA 批准可用人体,因而 TPGS 是一种安全的材料;作为药物载体时,可避免其他辅料所引起的不良反应。

本实验以 TPGS 作为 VP-16 载体,通过薄膜

作者简介: 劳新南, 女, 主管药师 Tel: 13600559416 E-mail: xn_lao@126.com

水化法,制备装载 VP-16 的 TPGS 胶束(VP-16 loaded TPGS micelles, VP-16/TPGS),研究所制得制剂的性能,并对其体外抗肿瘤活性进行评价,为 VP-16 的新剂型的开发提供实验依据。

1 仪器与试剂

1.1 仪器

Agilent 1260 高效液相色谱仪(美国 Agilent 公司); Nano-ZS90 型激光粒度与 Zeta 电位分析仪(英国 Malvern 公司); KQ-3200B 型超声波清洗器(江苏昆山仪器有限公司); BT-125D 型电子分析天平(德国 Sartorius 公司); R-201 型旋转蒸发仪(上海申顺生物科技有限公司); JEM-2100 型透射电子显微镜(日本 JEOL 公司); Varioskan LUX 全波长酶标仪(美国 ThermoFisher 公司); Lambda35 型紫外分光光度计(美国 PerkinElmer 公司)。

1.2 材料

VP-16 对照品和 VP-16 原料药均购自上海源叶生物技术有限公司; VP-16 注射液(齐鲁制药有限公司,批号: WB1K12110008,规格:5 mL:100 mg); 乙腈(色谱纯)、TPGS 均购自美国Sigma-Aldrich公司; CCK-8(上海碧云天生物技术有限公司); 其他试剂均为分析纯。

2 方法

2.1 VP-16/TPGS 胶束的制备

采用薄膜水化法制备胶束。以 10%载药量为例,将 10 mg 的 VP-16 和 90 mg 的 TPGS 分别溶于 3 mL 乙腈中,然后加入到 25 mL 单颈圆底烧瓶中,混合均匀; 37 ℃下抽真空旋蒸除去乙腈,制得均一的含 VP-16 和 TPGS 的混合薄膜;加入10 mL 超纯水,热水浴中振摇,制得澄清透明溶液,使用 0.22 μm 微孔滤膜趁热过滤溶液,除去游离的 VP-16,即得装载 VP-16 的 TPGS 胶束溶液;真空冷冻干燥,得白色粉末状固体,密封保存于-20 ℃,以备后续使用。空白 TPGS 胶束的制备采用同法,不加 VP-16。

2.2 VP-16/TPGS 胶束的表征

2.2.1 粒径与 Zeta 电位 按 "2.1"项下方法,制备理论载药量分别为 0,5%,10%,15%,20%的 VP-16/TPGS 胶束溶液,0.22 μm 微孔滤膜过滤后冷却至室温,使用激光粒度仪测定其粒径及其分散指数(polydispersity index, PDI)和表面电位,各样品平行测定 3 次取平均值。

2.2.2 形态观察 取 "2.1" 项下制得的 VP-16/TPGS 胶束溶液,稀释至适宜浓度,滴于硝酸纤维覆盖的铜网上;磷钨酸负染色后,自然晾干,通过透射电子显微镜观察胶束形态。

2.3 载药量与包封率测定

- **2.3.1** 色谱条件 色谱柱: $HC-C_{18}$ 键合硅胶柱, (150 mm×4.6 mm,5 μ m); 流动相: 水-乙腈(50:50); 流速: 1 mL·min^{-1} ; 检测波长: 254 nm; 进样量: 20 μ L; 柱温: 30 \mathbb{C} 。
- **2.3.2** 标准曲线的建立 精密称量 VP-16 对照品 10 mg,置于 10 mL 量瓶中,加入乙腈超声溶解并定容,得浓度为 1000 μg·mL^{-1} 的母液。将母液稀释得到 100, 50, 25, 12.5, 6.25, 3.12, 1.56, 0.78, 0.39, 0.19 μg·mL^{-1} 的系列对照品溶液。按"2.3.1"项下色谱条件进样,以峰面积(A)为纵坐标,VP-16浓度(C)为横坐标,进行线性回归,建立 VP-16标准曲线。
- 2.3.3 载药量与包封率的测定 精密称取 VP-16/TPGS 胶束冻干品适量,乙腈溶解并稀释,按 "2.3.1" 项下条件进行测定,并通过 "2.3.2" 项中建立的标准曲线方程计算 VP-16 含量。按下列 公式 计算:载 药量 (drug loading capacity, DLC)(%)=(测得的药物量/胶束的取样量)×100%,包封率(encapsulated efficiency,EE)(%)=测得的药物含量/理论药物含量×100%。

2.4 体外释放研究

分别取胶束溶液和生理盐水稀释的市售 VP-16注射液(对照)适量,加入到透析袋中,置于含 0.5%吐温 80 的 PBS (pH=7.4)缓冲液中;在 (37±0.5)℃、100 r·min⁻¹条件下恒温振荡,在预先设定的时间点取样,并更换新鲜释放介质。按"2.3"项下方法测定各时间点药物释放量,计算 VP-16 累积释放量,绘制药物释放曲线。本实验重复 3次,所得结果为 3 次平均值。

2.5 细胞学评价

2.5.1 细胞摄取研究 采用 HPLC 测定不同时间 点细胞内药物含量,考察人源小细胞肺癌细胞株 (H446)对 VP-16/TPGS 胶束摄取行为。将处于对数 生长期的 H446 细胞制备成细胞悬浮液,接种于 6 孔板中,每孔约 1×10^6 个细胞,在 37 $^{\circ}$ C、5% CO₂ 培养箱中培养 24 h。分别加入 20 $^{\circ}$ μg·mL⁻¹ 的 VP-16/TPGS 胶束溶液和市售 VP-16 注射液,孵育

- 1, 2, 4 h, 胰酶消化并收集细胞,使用冷的 PBS 溶液洗涤 3 次; 再加入 100 μL 纯化水,液氮冷冻室温复溶,如此 3 次; 再加入乙腈沉淀蛋白,萃取药物; 所得乙腈溶液按 "2.3" 项下方法测定药物含量。
- 2.5.2 细胞毒性研究 采用 CCK-8 法考察 VP-16/TPGS 胶束对 H446 细胞的生长抑制作用。取处于对数生长期的 H446 细胞悬浮液,接种于 96 孔板中,每孔 $100~\mu$ L,细胞密度约为每孔 5×10^3 个,在 37 \mathbb{C} 、5% CO_2 的培养箱中培养 24 h。按 $100~\mu$ L 每孔,加入不同浓度梯度的 VP-16/TPGS 胶束溶液和市售 VP-16 注射液,加完全培养基处理组作为空白对照,设 6 个复孔,继续培养 24 h。每孔加 CCK-8 溶液 $20~\mu$ L,于 37 \mathbb{C} 培养箱再孵育 2 h,在酶标仪 450 nm 处测定 OD 值,取平均 OD 值分析并计算细胞存活率。

2.6 血液相容性

分别取新鲜制备的 2%的兔血红细胞混悬液 2.5 mL,加入到 10 mL 试管中,再分别加入 2.5 mL 纯化水(阳性对照)、生理盐水(阴性对照)、不同浓度的 VP-16/TPGS 胶束溶液或市售 VP-16 注射液,混合均匀,于 37 ℃静置 3 h,观察溶液状态;将各管于 1 500 r·min⁻¹ 离心 10 min,取上清液在紫外可见分光光度计上 545 nm 处,以纯化水为空白读取各管 OD 值。溶血率计算公式如下:溶血率(%) = (样品吸光度-阴性对照吸光度)×100%/(阳性对照吸光度-阴性对照吸光度)

2.7 统计学分析

实验结果用 $\bar{x} \pm s$ 表示。采用 SPSS 19.0 统计软件处理实验数据,计量数据采用t检验,P<0.05 认为有统计学差异。

3 结果

- **3.1** VP-16/TPGS 胶束的表征
- 3.1.1 粒径与 Zeta 电位 VP-16/TPGS 胶束溶液 的粒径和表面电位变化见表 1。可以看出,同空白胶束溶液相比,装载 VP-16 的胶束的粒径略微增大,而且随 VP-16 的投料量增大也增大;但是所有胶束溶液的电位基本接近于电中性。
- **3.1.2** 形态观察 VP-16/TPGS 胶束的形态见图 1。可以看出,胶束呈规则的单分散球形,粒径约为 30 nm,与纳米粒度仪测定的结果相吻合。

表 1 VP-16/TPGS 胶束理化性质结果(n=3)

Tab. 1 Results of the physico-chemical properties of VP-16/TPGS micelles(n=3)

, ,						
编号	理论载 药量/%	粒径/nm	PDI	电位/ mV	载药量/%	包封率/%
S1	0	25.3±0.1	0.15±0.03	-1.018	0	0
S2	5	27.2±0.2	0.18±0.02	-1.063	4.89 ± 0.03	97.80±0.60
S3	10	28.9 ± 0.4	0.18 ± 0.04	-0.760	9.45±0.32	94.52±3.21
S4	15	30.6±0.3	0.19±0.03	-0.842	13.67±0.26	91.33±1.73
S5	20	33.3±0.6	0.22±0.03	-0.996	17.70±0.38	88.50±1.90

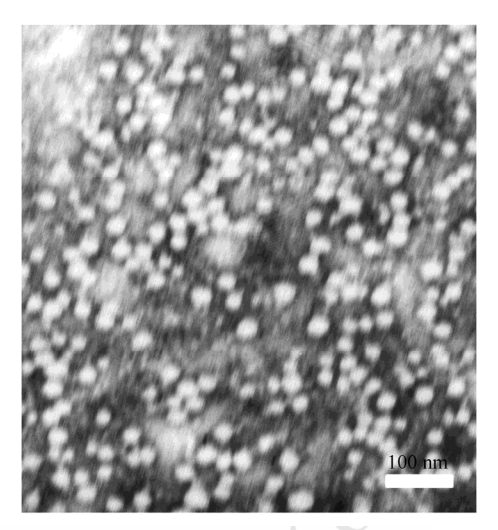


图 1 VP-16/TPGS 胶束的形态

Fig. 1 The morphology of VP-16/TPGS micelles

3.2 载药量与包封率

- **3.2.1** 标准曲线的建立 在 $0.78 \sim 100 \, \mu \text{g·mL}^{-1}$ 内,浓度与峰面积呈现良好的线性关系,标准曲线方程为 A=8.578C+1.484(r=0.999~8)。
- 3.2.2 载药量与包封率 VP-16/TPGS 胶束的载药量与包封率结果见表 1。可以看出,随 VP-16 的投料量增大也载药量增高,但包封率随之下降;当投料比达到 20/80 时,包封率<90%。因而,综合载药量与包封率考虑,选择 15%的载药量组进行后续试验研究。

3.3 体外释放研究

VP-16 制剂的体外释放曲线见图 2。可以看出,市售 VP-16 注射液组药物快速释放,在前 10 h,累积释放量达 90%;而 VP-16/TPGS 组药物呈现缓慢释放的状态,前 10 h 累积释放量为 65%,之后曲线趋于平稳,48 h 时的累积释放量约为 83%。

3.4 细胞学评价

3.4.1 细胞摄取研究 VP-16 的细胞摄取量见图 3。可以看出,细胞对 VP-16 的摄取呈现时间依赖

性,随时间延长,细胞对 VP-16 的摄取量增多;同时,同市售 VP-16 注射液组相比,VP-16/TPGS 胶束组细胞摄取了更多的 VP-16[2 h,(0.68 \pm 0.09) μ g vs (1.52 \pm 0.10) μ g;4 h,(1.86 \pm 0.21) μ g vs (3.53 \pm 0.36) μ g;P<0.05]。

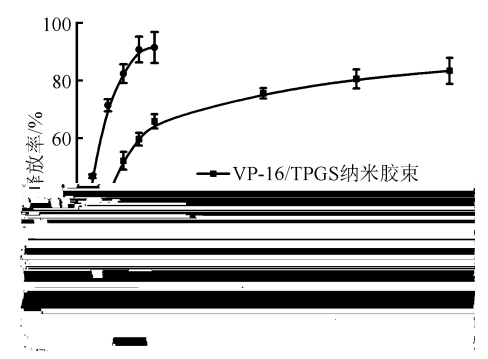


图 2 体外药物释放曲线

Fig. 2 In vitro drug release behavior

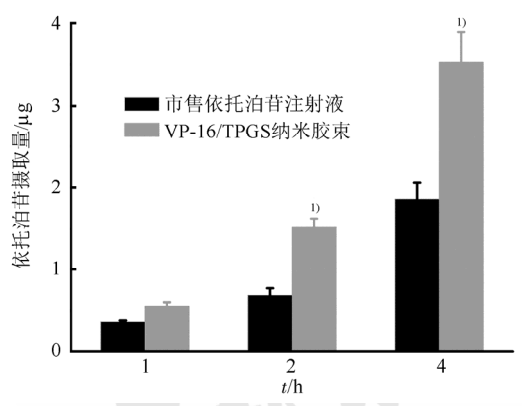


图 3 H446 细胞对 VP-16 的摄取与市售 VP-16 注射液组相比, 1)P<0.05。

Fig. 3 The cellular uptake of etoposide by H446 cells Compared with VP-16 injection, ¹⁾*P*<0.05.

3.4.2 细胞毒性研究 VP-16 对人小细胞肺癌 H446 细胞的生长抑制作用见图 4。可以看出,VP-16 的抑制作用呈现浓度依赖性,随浓度增高,H446 细胞的生长受到明显抑制;并且 VP-16/TPGS 胶束组的抑制作用更明显, $IC_{50}(8.834~\mu g \cdot m L^{-1})$ 小于市售 VP-16 注射液组($IC_{50}=14.017~\mu g \cdot m L^{-1}$)。

3.5 血液相容性

市售 VP-16 注射液主要通过静脉注射给药,作为其改进剂型,VP-16/TPGS 也主要通过静脉给药,因而应当考察其与血液的相容性,溶血率结果见图 5。可以看出,在 VP-16 浓度增大到 2.0 mg·mL⁻¹时,VP-16/TPGS 的溶血率仅为 0.3%,<5%(溶血率>5%时,视为有溶血作用),可视为无溶血作用。

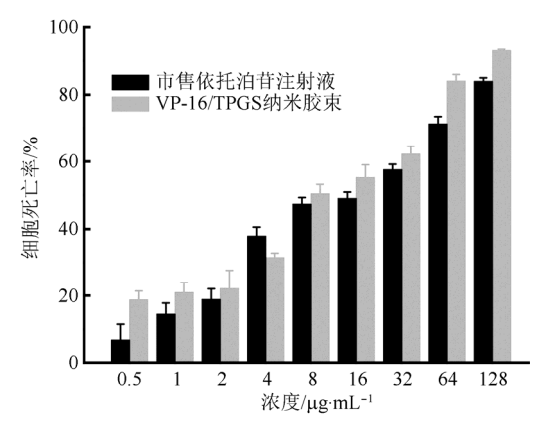


图 4 VP-16 制剂对 H446 细胞的毒性

Fig. 4 The cytotoxicity of etoposide formulation on H446 cells

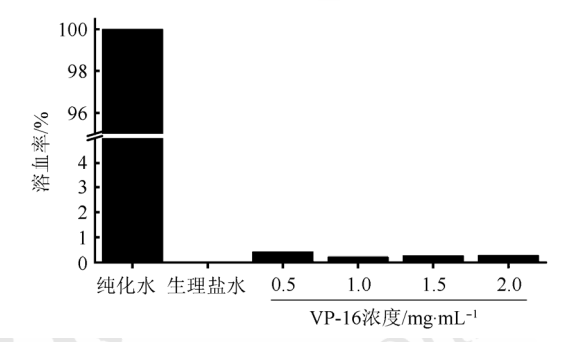


图 5 VP-16/TPGS 胶束的溶血率

Fig. 5 The hemolysis rate of VP-16/TPGS micelles

4 讨论

VP-16 必须富集于肿瘤组织部位,才能有效地发挥抗肿瘤作用,但是目前临床使用的 VP-16 注射液缺乏靶向性,且所用辅料具有一定的不良反应。而聚合物胶束是一种优异的传递疏水性药物的载体,可通过肿瘤组织 EPR 效应(增强的渗透和滞留作用),而被动靶向富集于肿瘤组织,从而提高药物浓度。将 VP-16 胶束化能够优化 VP-16 的使用。

本实验中使用由生物安全性良好的维生素 E和聚乙二醇组成的 TPGS 作为药物载体,采用薄膜水化法制备了装载 VP-16 的 TPGS 胶束。该制备方法未使用任何有毒表面活性剂,所制备的胶束具有较小的粒径,呈规则的单分散分布,且粒径为20~30 nm,可通过 EPR 效应被动靶向于肿瘤组织部位;而其表面基本不荷电,可减小体循环过程中的非特异吸附。该胶束具有较高的载药量和包封率,在载药量达15%时,包封率仍>90%,表明 TPGS 是一种有效的 VP-16 载体。体外释放研究表明,该载药胶束具有更慢的药物释放行为,

表明 VP-16 胶束具有良好的缓控释效果,有助于延长体循环时间。体外抗肿瘤活性实验表明,VP-16 胶束与市售 VP-16 注射液组均有明显抑制H446 细胞的作用,但胶束组显示更强的抗肿瘤活性,结合细胞摄取结果,可以看出这是因为 VP-16 胶束化增强了 H446 细胞对药物摄取,使更多的药物富集于细胞,因而产生更强的杀伤作用。血液相容性研究表明,VP-16 胶束没有溶血作用,因而VP-16/TPGS 适于静脉注射给药,有利于体内应用。

因而,本研究所制备的 VP-16/TPGS 胶束是一种安全、有效的 VP-16 递送系统,值得进一步深入的研究。

REFERENCES

- HANDE K R. Etoposide: four decades of development of a topoisomerase II inhibitor [J]. Eur J Cancer, 1998, 34(10): 1514-1521.
- [2] BENJAMIN C, FU J, NEIL D. Enhanced efficacy of local etoposide delivery by poly (ether-anhydride) particles against small cell lung cancer in vivo [J]. Biomaterials, 2010, 31(2): 339-344.
- [3] DEANDELO D J, FATHI A T, WERNER L. A phase 1 study of lenalidomide in combination with mitoxantrone, etoposide, and Ara-C in patients with relapsed or refractory Acute Myeloid Leukemia [J]. Blood, 2015, 119(6): 126-2550.
- [4] KUMAR A, LE N, SANTOS J. Chemotherapy is of value in second line and beyond, relapsed high-grade, serous epithelial ovarian cancer: An analysis of outcomes obtained with oral etoposide [J]. Am J Clin Oncol, 2016. Doi: 10.1097/coc. 00000000000000281.
- [5] YOU B, SALLES G, BACHY E. Etoposide pharmacokinetics impact the outcomes of lymphoma patients treated with BEAM regimen and ASCT: a multicenter study of the LYmphoma Study Association (LYSA) [J]. Cancer Chemother

- Pharmacol, 2015, 76(5): 939-948.
- [6] KATAOKAA K, HARADAA A, NAGASAKI Y. Block copolymer micelles for drug delivery: design, characterization and biological significance [J]. Adv Drug Deliv Rev, 2001, 47(1): 113-131
- [7] YOKOYAMA M. Polymeric micelles as a new drug carrier system and their required considerations for clinical trials [J]. Expert Opin Drug Deliv, 2010, 7(2): 145-158.
- [8] LI Y P, XIAO K, LUO J T. A novel size-tunable nanocarrier system for targeted anticancer drug delivery [J]. J Control Release, 2010, 144(3): 314-323.
- [9] FANG J, NAKAMURA H, MAEDA H. The EPR effect: unique features of tumor blood vessels for drug delivery, factors involved, and limitations and augmentation of the effect [J]. Adv Drug Deliv Rev, 2011, 63(3): 136-151.
- [10] WANG G H, SHEN H P, JIN C S, et al. Antitumor activity of stearic acid grafted chitosan oligosaccharide polymeric micelles loading podophyllotoxin against human glioma cells [J]. Chin J Mod Appl Pharm(中国现代应用药学), 2016, 33(7): 1248-1251.
- [11] XU H Y, XIE L Y, CHANG D, et al. Preparation of MePEG-PLGA hydroxy camptothecin nanoparticles by improved dialysis method [J]. Chin J Mod Appl Pharm(中国现代应用药学), 2016, 33(6): 746-751.
- [12] HOU J, LI J, SUN E, et al. Synergistic effect of *Epimedii* folium fried with suet oil for warming kidney and enhancing yang in dosage form of self-assembled micelles [J]. China J Chin Mater Med(中国中药杂志), 2016, 41(14): 2633-2637.
- [13] MU L, FENG S S. Vitamin E TPGS used as emulsifier in the solvent evaporation/extraction technique for fabrication of polymeric nanospheres for controlled release of paclitaxel (taxol) [J]. J Control Release, 2002, 80(1-3): 129-144.
- [14] PAN J, WANG Y T, FENG S S. Formulation, characterization, and in vitro evaluation of quantum dots loaded in poly(lactide)-vitamin E TPGS nanoparticles for cellular and molecular imaging [J]. Biotechnol Bioeng, 2008, 101(3): 622-633

收稿日期: 2016-12-01 (本文责编: 曹粤锋)